



Министерство науки и высшего образования Российской Федерации
Федеральное государственное бюджетное образовательное учреждение
высшего образования
«Московский государственный технический университет
имени Н. Э. Баумана
(национальный исследовательский университет)»
(МГТУ им. Н. Э. Баумана)

ФАКУЛЬТЕТ Информатика и системы управления

КАФЕДРА Программное обеспечение ЭВМ и информационные технологии
(ИУ7)

НАПРАВЛЕНИЕ ПОДГОТОВКИ 09.03.04 Программная инженерия

Отчет по лабораторной работе №6 по дисциплине анализ алгоритмов

Тема: Муравьиный алгоритм и метод полного
перебора для решения задачи коммивояжёра

Студент: Серова М.Н.

Группа: ИУ7-55Б

Оценка (баллы): _____

Преподаватель: Волкова Л.Л.

Москва, 2021

Оглавление

Введение	2
1 Аналитическая часть	3
1.1 Муравьиные алгоритмы.	3
1.2 Применение для задачи коммивояжёра	5
1.3 Метод полного перебора.	7
2 Конструкторская часть	9
2.1 Требования к выводу	9
2.2 Схемы алгоритмов.	9
2.3 Структуры данных	15
3 Технологическая часть	16
3.1 Средства реализации	16
3.2 Реализация алгоритмов	16
3.3 Функциональные тесты	20
4 Экспериментальная часть	22
4.1 Пример работы программы	22
4.2 Технические характеристики	22
4.3 Время выполнения алгоритмов	23
4.4 Параметризация муравьиного алгоритма на основании прове- денного эксперимента	24
Заключение	28
Список литературы	29
Приложение	30

Введение

Целью данной лабораторной работы является проведение сравнительного анализа метода полного перебора и эвристического метода на базе муравьиного алгоритма.

Для достижения поставленной цели требуется выполнить следующие задачи.

1. Изучить алгоритм полного перебора и муравьиный алгоритм для решения задачи коммивояжера с возвращением последнего в город, с которого он начал обход.
2. Реализовать алгоритм полного перебора и муравьиный алгоритм.
3. Провести тестирование.
4. Провести параметризацию муравьиного алгоритма для трех классов данных.
5. Исследовать время работы алгоритмов.
6. Описать и обосновать полученные результаты в отчете.

1 Аналитическая часть

В данном разделе будет поставлена цель и описаны задачи описана теоретическая часть муравьиного алгоритма и полного перебора.

Одна из самых известных и важных задач транспортной логистики (и комбинаторной оптимизации) – задача коммивояжёра или "задача о странствующем торговце". Суть задачи сводится к поиску оптимального (кратчайшего, быстрого или самого дешевого) пути, проходящего через промежуточные пункты по одному разу и возвращающегося в исходную точку. К примеру, нахождение наиболее выгодного маршрута, позволяющего коммивояжёру посетить со своим товаром определенные города по одному разу и вернуться обратно. Мерой выгодности маршрута может быть минимальное время поездки, минимальные расходы на дорогу или минимальная длина пути. В наше время, когда стоимость доставки часто бывает сопоставима со стоимостью самого товара, а скорость доставки – один из главных приоритетов, задача нахождения оптимального маршрута приобретает огромное значение [1].

1.1 Муравьиные алгоритмы.

Муравьиные алгоритмы представляют собой вероятностную жадную эвристику, где вероятности устанавливаются, исходя из информации о качестве решения, полученной из предыдущих решений.

Идея муравьиного алгоритма – моделирование поведения муравьёв, связанного с их способностью быстро находить кратчайший путь от муравейника к источнику пищи и адаптироваться к изменяющимся условиям, находя новый кратчайший путь. При своём движении муравей метит путь феромоном, и эта информация используется другими муравьями для выбора пути. Это элементарное правило поведения и определяет способность муравьёв находить новый путь, если старый оказывается недоступным.

Рассмотрим случай, показанный на рисунке 1.1, когда на оптимальном доселе пути возникает преграда. В этом случае необходимо определение нового оптимального пути. Дойдя до преграды, муравьи с равной вероятностью будут обходить её справа и слева. То же самое будет происходить и на обратной стороне преграды. Однако, те муравьи, которые случайно выберут кратчайший путь, будут быстрее его проходить, и за несколько передвижений он будет

более обогащён феромоном. Поскольку движение муравьёв определяется концентрацией феромона, то следующие будут предпочитать именно этот путь, продолжая обогащать его феромоном до тех пор, пока этот путь по какой-либо причине не станет недоступен.

Очевидная положительная обратная связь быстро приведёт к тому, что кратчайший путь станет единственным маршрутом движения большинства муравьёв. Моделирование испарения феромона - отрицательной обратной связи - гарантирует нам, что найденное локально оптимальное решение не будет единственным - муравьи будут искать и другие пути. Если мы моделируем процесс такого поведения на некотором графе, рёбра которого представляют собой возможные пути перемещения муравьёв, в течение определённого времени, то наиболее обогащённый феромоном путь по рёбрам этого графа и будет являться решением задачи, полученным с помощью муравьиного алгоритма [2].

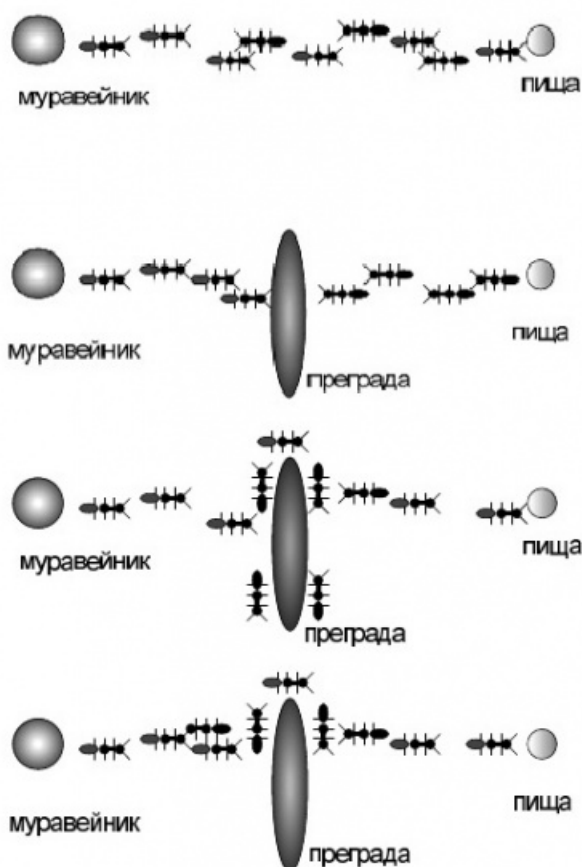


Рис. 1.1: Схема движения муравьёв.

1.2 Применение для задачи коммивояжера

Любой муравьиный алгоритм, независимо от модификаций, представим в следующем виде.

1. Создаем муравьёв.

Стартовая точка, куда помещается муравей, зависит от ограничений, накладываемых условиями задачи. Потому что для каждой задачи способ размещения муравьёв является определяющим. Либо все они помещаются в одну точку, либо в разные с повторения, либо без повторений.

На этом же этапе задается начальный уровень феромона. Он инициализируется небольшим положительным числом для того, чтобы на начальном шаге вероятности перехода в следующую вершину не были нулевыми.

2. Ищем решения.

Вероятность перехода из вершины i в вершину j определяется по следующей формуле:

$$P_{ij,k}(t) = \begin{cases} \frac{[\tau_{ij}(t)]^\alpha \cdot [\eta_{ij}]^\beta}{\sum_{l \in J_{i,k}} [\tau_{il}(t)]^\alpha \cdot \eta_{il}}^\beta & , j \in J_{i,k}; \\ 0 & , j \notin J_{i,k} \end{cases} \quad (1.1)$$

где

$\tau_{i,j}$ — расстояние от города i до j ;

$\eta_{i,j}$ — количество феромонов на ребре ij ;

α — параметр влияния длины пути;

β — параметр влияния феромона.

3. Обновляем феромон.

Уровень феромона обновляется в соответствии с приведённой формулой: После того, как муравей успешно проходит маршрут, он оставляет на всех пройденных ребрах след, обратно пропорциональный длине пройденного

пути:

$$\tau_{i,j} = (1 - \rho)\tau_{i,j} + \Delta\tau_{i,j}, \quad (1.2)$$

где

$\rho_{i,j}$ — доля феромона, который испарится;

$\tau_{i,j}$ — количество феромона на дуге ij ;

$\Delta\tau_{i,j}$ — количество отложенного феромона.

Также нужно заметить, что количество отложенного феромона ($\tau_{i,j}$) является суммой всех $\Delta\tau_{i,j}^k$:

$$\Delta\tau_{i,j}^k = \begin{cases} Q/L_k & \text{Если } k\text{-ый муравей прошел по ребру } ij; \\ 0 & \text{Иначе} \end{cases} \quad (1.3)$$

где

Q — количество феромона, переносимого муравьем;

L_k — стоимость k -го пути муравья (обычно длина).

Теперь с учетом особенностей задачи коммивояжера, мы можем описать локальные правила поведения муравьев при выборе пути.

1. Муравьи имеют собственную «память». Поскольку каждый город может быть посещён только один раз, то у каждого муравья есть список уже посещенных городов - список запретов. Обозначим через J список городов, которые необходимо посетить муравью k , находящемуся в городе i .
2. Муравьи обладают «зрением» - видимость есть эвристическое желание посетить город j , если муравей находится в городе i . Будем считать, что видимость обратно пропорциональна расстоянию между городами.
3. Муравьи обладают «обонянием» - они могут улавливать след феромона, подтверждающий желание посетить город j из города i на основании

опыта других муравьёв. Количество феромона на ребре (i, j) в момент времени t обозначим через $\tau_{i,j}(t)$.

4. На этом основании мы можем сформулировать вероятностнопропорциональное правило, определяющее вероятность перехода k -ого муравья из города i в город j .
5. Пройдя ребро (i, j) , муравей откладывает на нём некоторое количество феромона, которое должно быть связано с оптимальностью сделанного выбора. Пусть $T_k(t)$ есть маршрут, пройденный муравьем k к моменту времени t , $L_k(t)$ - длина этого маршрута, а Q - параметр, имеющий значение порядка длины оптимального пути [3].

1.3 Метод полного перебора.

Метод полного перебора, по-другому именуемый методом грубой силы, является простым, логичным и широко используемым математическим методом. Он применим во многих, если не во всех, областях математики: задача коммивояжера также не является исключением. Идея brute force предельно проста: перебираются всевозможные решения и из них выбирается решение (или множество решений) отвечающее условию задачи.

В задаче коммивояжера, соответственно, требуется из всевозможных вариантов объезда пунктов выбрать маршрут, занимающий кратчайшее время (или минимальный по стоимости маршрут).

Огромным преимуществом метода полного перебора перед другими методами решения задачи коммивояжера является гарантированность нахождения наилучшего маршрута. Другие методы советуют лишь «хороший» маршрут, который совсем не обязательно является лучшим. Кроме того, к достоинствам метода относится простота его программной реализации.

Однако, в связи с наличием огромного недостатка, метод полного перебора крайне редко используется на практике. Этим недостатком является временная сложность алгоритма. Асимметричная задача коммивояжера с n посещаемых пунктов требует при полном переборе рассмотрения $(n-1)!$ туров, а факториал растет невероятно быстро. Поэтому метод полного перебора может применяться только для задач малой размерности (при рассмотрении до двух десятков посещаемых пунктов) [4].

Вывод

В данном разделе поставлена цель и описаны задачи описана теоретическая часть муравьиного алгоритма и полного перебора.

2 Конструкторская часть

В данном разделе будет представлено описание архитектуры ПО и схемы муравьиного алгоритма и алгоритма перебором.

2.1 Требования к выводу

Вывести таблицу с результатами параметризации. Столбцы: коэффициент либо жадности, либо стадности (второй из них не приводится, т.к. он связан с другим формулой), коэффициент испарения феромона, количество поколений ("суток" жизни колонии), значение длины лучшего найденного за 2-3 прогона муравьиного алгоритма пути и разность между этим значением и эталонным (по паре столбцов длина, разность длин на каждую "карту" класса данных). До таблицы приводят эталонные длины маршрутов, полученные методом полного перебора.

2.2 Схемы алгоритмов.

На рисунках 2.1, 2.2, 2.3 представлена схема муравьиного алгоритма.

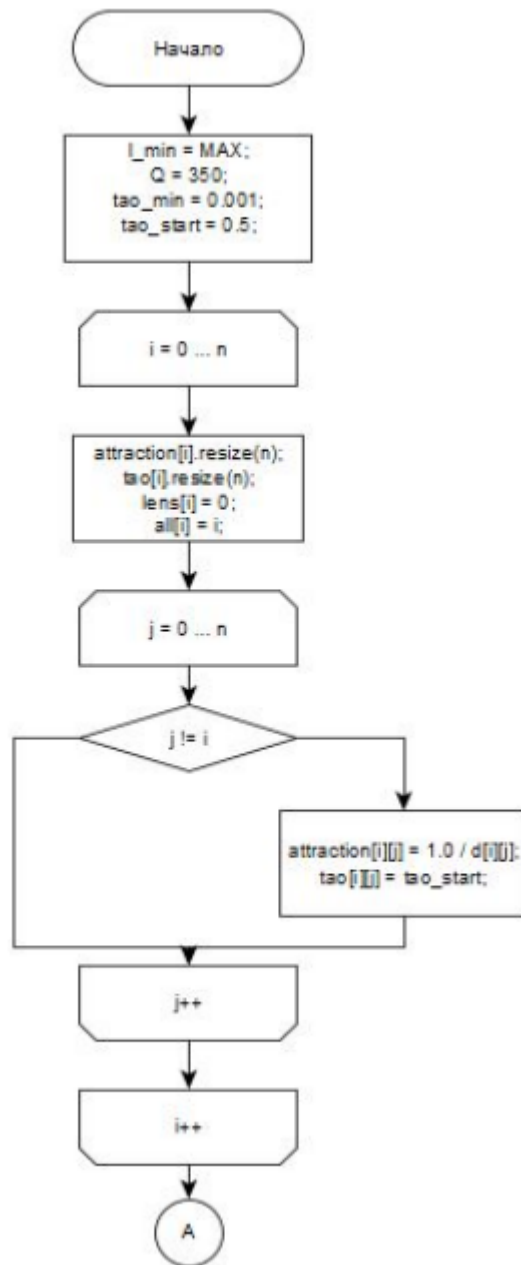


Рис. 2.1: Схема муравьиного алгоритма часть 1.

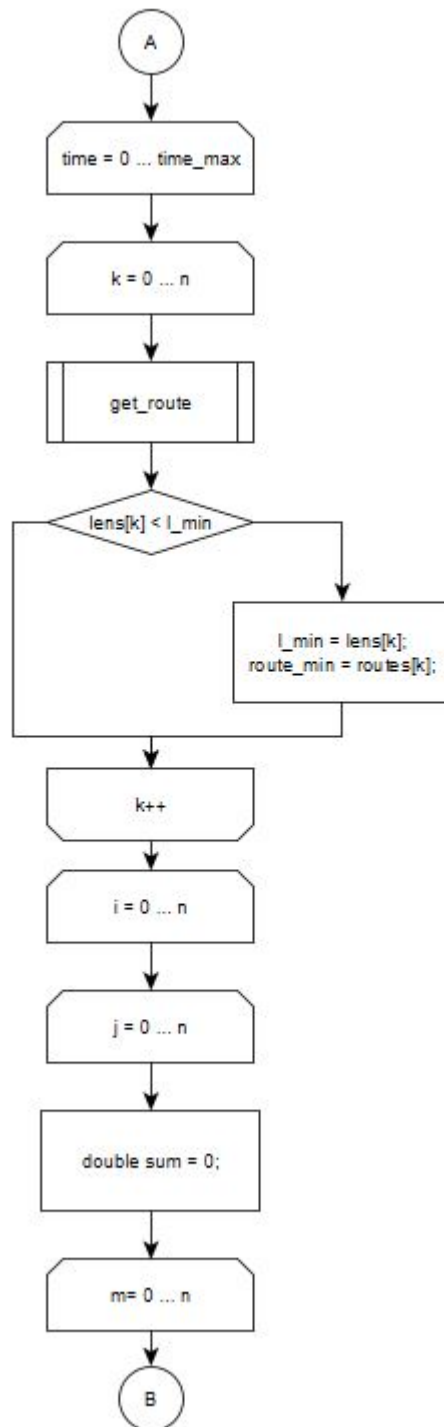


Рис. 2.2: Схема муравьиного алгоритма часть 2.

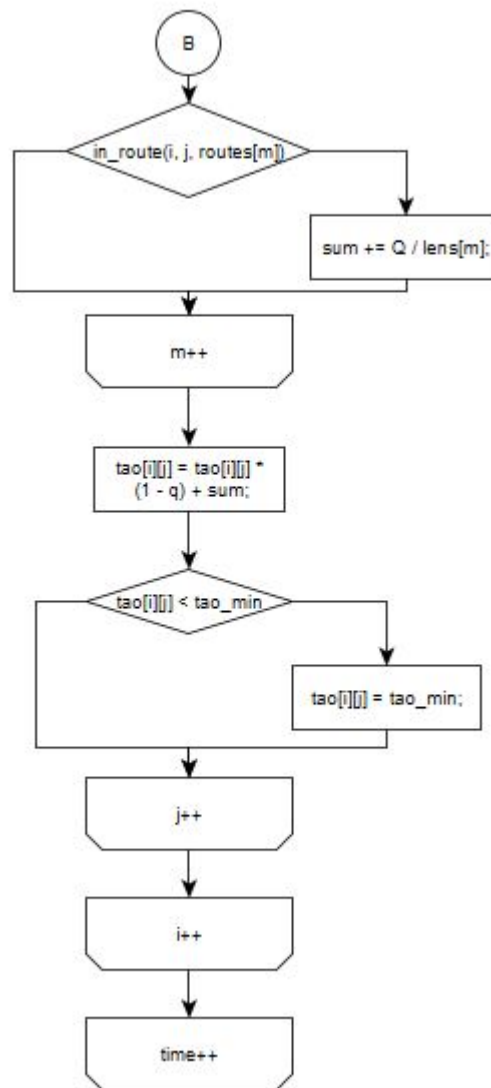


Рис. 2.3: Схема муравьиного алгоритма часть 3.

На рисунках 2.4, 2.5 представлена схема метода полного перебора.

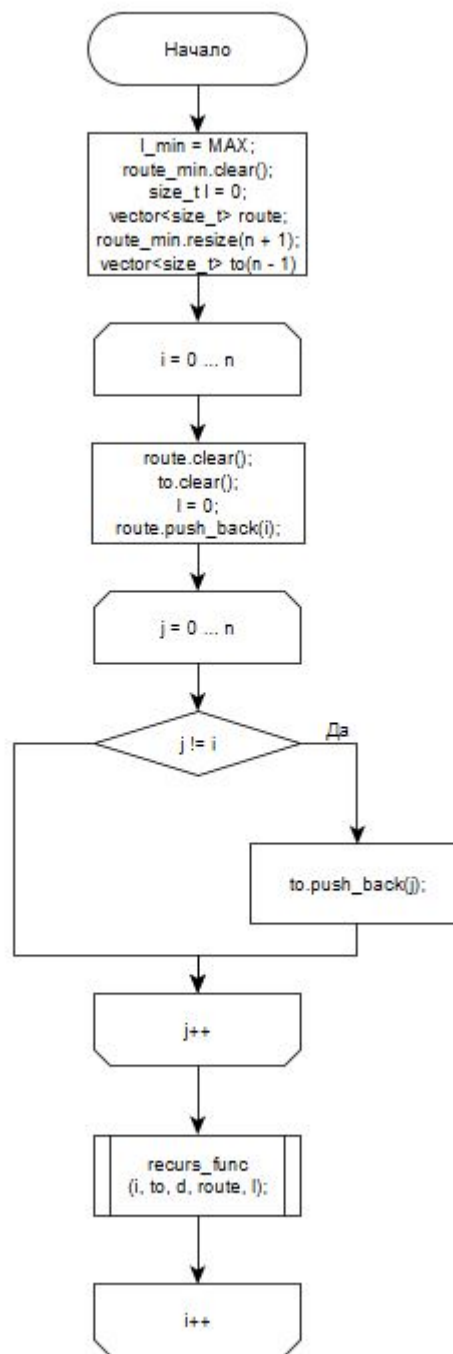


Рис. 2.4: Схема метода полного перебора часть 1.

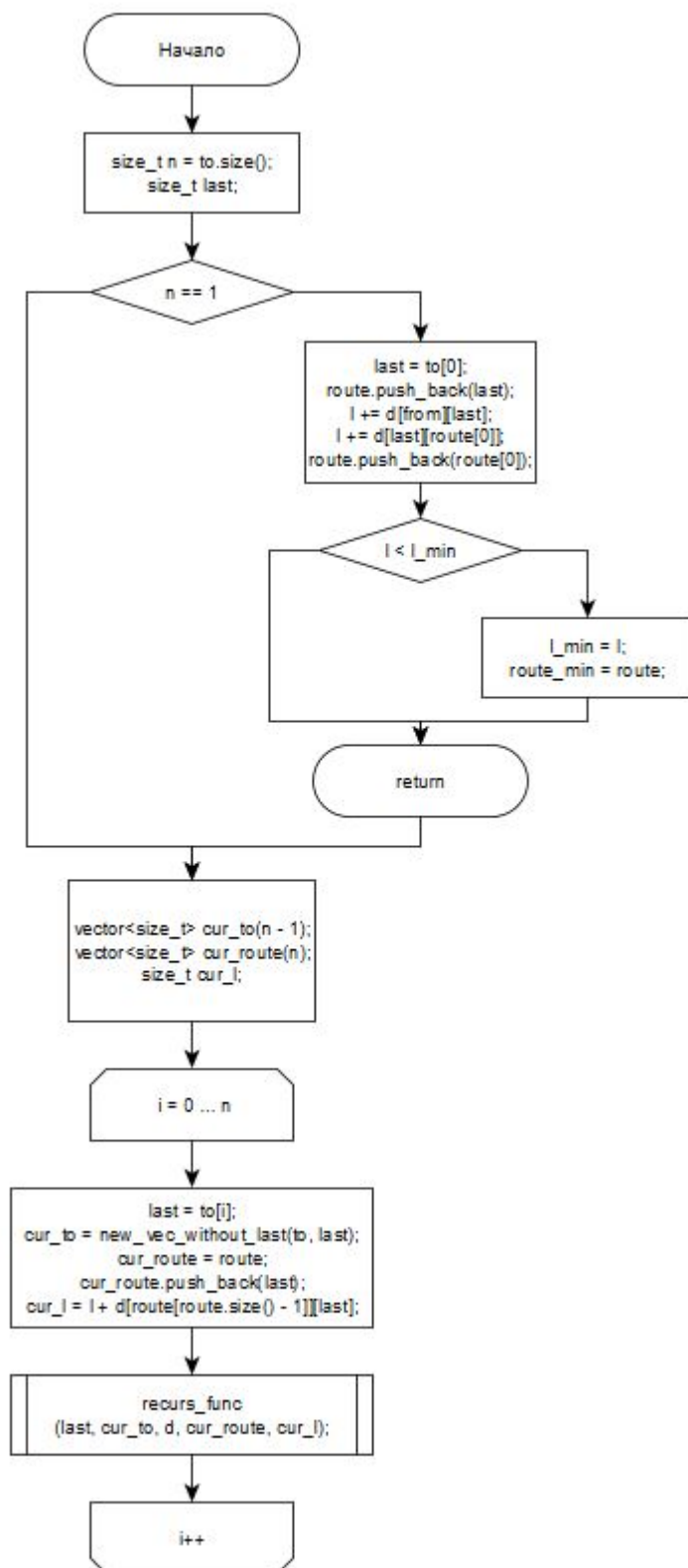


Рис. 2.5: Схема метода полного перебора часть 2.

2.3 Структуры данных

В работе используется вектор `route_min` для хранения минимального пути, переменная `l_min` типа `size_t` для хранения длины минимального пути, матрицы `attraction`, хранящая значения, обратные расстоянию между городами, `tao`, хранящая количество феромонов в вершинах графа, `d`, описывающая матрицу смежности.

Изначально матрица смежности считывается из файла `test1.txt`, затем производится поиск минимального маршрута методом полного перебора, после чего для этой же матрицы запускается муравьиный алгоритм с заданными параметрами $\alpha, \beta, \rho, t_{max}$.

Вывод

В данном разделе представлено описание архитектуры ПО и схемы муравьиного алгоритма и алгоритма перебором.

3 Технологическая часть

Данный раздел содержит обоснование выбора языка и среды разработки, реализацию алгоритмов.

3.1 Средства реализации

Для реализации программы был выбран язык программирования C++. Такой выбор обусловлен следующими причинами:

- имеет высокую производительность;
- наличие библиотек для удобной работы с векторами и замеров времени.

Для замера времени выполнения использовалась функция *clock()* из библиотеки *ctime*. Эта функция возвращает количество временных тактов, прошедших с начала запуска программы [4].

3.2 Реализация алгоритмов

В листингах 3.4 - 3.5 представлены реализации рассматриваемых алгоритмов.

Листинг 3.1: Реализация алгоритма полного перебора (часть 1)

```
1 void recurs_func(size_t from, vector<size_t> to, vector<vector<  
    size_t>> d, vector<size_t> route, size_t l) {  
2  
3     size_t n = to.size();  
4     size_t last;  
5     if (n == 1) {  
6         last = to[0];  
7         route.push_back(last);  
8         l += d[from][last];  
9         l += d[last][route[0]];  
10        route.push_back(route[0]);  
11        if (l < l_min) {  
12            l_min = l;  
13            route_min = route;  
14        }  
15        return;  
16    }
```

Листинг 3.2: Реализация алгоритма полного перебора (часть 2)

```
1  vector<size_t> cur_to(n - 1);
2  vector<size_t> cur_route(n);
3  size_t cur_l;
4  for (size_t i = 0; i < n; i++) {
5      last = to[i];
6      cur_to = new_vec_without_last(to, last);
7      cur_route = route;
8      cur_route.push_back(last);
9      cur_l = l + d[route[route.size() - 1]][last];
10     recurs_func(last, cur_to, d, cur_route, cur_l);
11 }
12
13 }
14
15 void perebor(size_t n, vector<vector<size_t>> d) {
16     l_min = MAX;
17     route_min.clear();
18     size_t l = 0;
19     vector<size_t> route;
20     route_min.resize(n + 1);
21     vector<size_t> to(n - 1);
22
23     for (size_t i = 0; i < n; i++) {
24         route.clear();
25         to.clear();
26         l = 0;
27
28         route.push_back(i);
29         for (size_t j = 0; j < n; j++)
30             if (j != i)
31                 to.push_back(j);
32         recurs_func(i, to, d, route, l);
33     }
34
35     cout << endl << "ROUTE: ";
36     print_arr(route_min);
37     cout << "LENGTH: " << l_min << endl << endl;
38 }
```

Листинг 3.3: Реализация муравьиного алгоритма(часть 1)

```

1 vector<double> get_probability(size_t from, vector<size_t> to,
    vector<vector<double>> tao, vector<vector<double>> attraction,
2 size_t alpha, size_t beta) {
3
4     double znam = 0, chisl = 0;
5     size_t n = to.size();
6     vector<double> result(n);
7     for (size_t i = 0; i < n; i++) {
8         znam += pow(tao[from][to[i]], alpha) * pow(attraction[from][to
            [i]], beta);
9     }
10    for (size_t j = 0; j < n; j++) {
11        chisl = pow(tao[from][to[j]], alpha) * pow(attraction[from][to
            [j]], beta);
12        result[j] = chisl / znam;
13    }
14    return result;
15 }
16
17 void get_route(vector<size_t> all, size_t start, vector<size_t> &
    route, size_t &len, vector<vector<size_t>> d,
18 vector<vector<double>> tao, vector<vector<double>> attraction,
19 size_t alpha, size_t beta) {
20
21     route.resize(0);
22     route.push_back(start);
23     vector<size_t> to = new_vec_without_last(all, start);
24     size_t n_1 = tao.size() - 2;
25     size_t from;
26     double coin, sum;
27     bool flag;
28
29     for (size_t i = 0; i < n_1; i++) {
30         sum = 0;
31         flag = true;
32         from = route[i];
33         vector<double> p = get_probability(from, to, tao, attraction,
            alpha, beta);
34         coin = double(rand() % 10000) / 10000;

```

Листинг 3.4: Реализация муравьиного алгоритма(часть 2)

```

1      for (size_t j = 0; j < p.size() && flag; j++) {
2          sum += p[j];
3          if (coin < sum) {
4              route.push_back(to[j]);
5              len += d[from][to[j]];
6              to = new_vec_without_last(to, to[j]);
7              flag = false;
8          }
9      }
10     }
11     len += d[route[route.size() - 1]][to[0]];
12     route.push_back(to[0]);
13     len += d[route[route.size() - 1]][route[0]];
14     route.push_back(route[0]);
15 }
16
17 void ant(size_t n, vector<vector<size_t>> d, size_t alpha, size_t
    beta, double q, size_t time_max) {
18
19     l_min = MAX;
20     route_min.clear();
21
22     double tao_min, tao_start, Q;
23     vector<size_t> all(n);
24     Q = 350;
25     tao_min = 0.001;
26     tao_start = 0.5;
27
28     vector<vector<size_t>> routes(n);
29     vector<size_t> lens(n);
30
31     vector<vector<double>> attraction(n);
32     vector<vector<double>> tao(n);
33
34     for (size_t i = 0; i < n; i++) {
35         attraction[i].resize(n);
36         tao[i].resize(n);
37         lens[i] = 0;
38         all[i] = i;

```

Листинг 3.5: Реализация муравьиного алгоритма(часть 3)

```
1   for (size_t j = 0; j < n; j++) {
2       if (i != j) {
3           attraction[i][j] = 1.0 / d[i][j];
4           tao[i][j] = tao_start;
5       }
6   }
7 }
8
9 for (size_t time = 0; time < time_max; time++) {
10    for (size_t k = 0; k < n; k++) {
11        get_route(all, k, routes[k], lens[k], d, tao, attraction,
12                alpha, beta);
13        if (lens[k] < l_min) {
14            l_min = lens[k];
15            route_min = routes[k];
16        }
17    }
18    for (size_t i = 0; i < n; i++)
19        for (size_t j = 0; j < n; j++) {
20            double sum = 0;
21            for (size_t m = 0; m < n; m++) {
22                if (in_route(i, j, routes[m]))
23                    sum += Q / lens[m];
24            }
25            tao[i][j] = tao[i][j] * (1 - q) + sum;
26            if (tao[i][j] < tao_min)
27                tao[i][j] = tao_min;
28        }
29    }
30 }
```

3.3 Функциональные тесты

В первом столбце таблицы 3.1 представлена матрица расстояний, во втором - длина кратчайшего пути и сам кратчайший путь, в третьем найденная длина кратчайшего пути алгоритмом полного перебора и муравьиного алгоритма. На больших матрицах (от 5×5) результат работы муравьиного алгоритма может быть с погрешностью.

Таблица 3.1: Функциональные тесты

Матрица	Ожидаемая л и путь	Фактическая л и путь
$\begin{bmatrix} 0 & 1 & 3 & 2 \\ 1 & 0 & 1 & 3 \\ 3 & 1 & 0 & 1 \\ 2 & 3 & 1 & 0 \end{bmatrix}$	5, [1, 2, 3, 4, 1]	5, [1, 2, 3, 4, 1]
$\begin{bmatrix} 0 & 74 & 173 & 66 \\ 74 & 0 & 32 & 23 \\ 173 & 32 & 0 & 116 \\ 66 & 23 & 116 & 0 \end{bmatrix}$	288, [1, 2, 3, 4, 1]	288, [1, 2, 3, 4, 1]
$\begin{bmatrix} 0 & 6223 & 9593 \\ 6223 & 0 & 9200 \\ 9593 & 9200 & 0 \end{bmatrix}$	25016, [1, 2, 3, 1]	25016, [1, 2, 3, 1]

Фактические результаты тестов совпали с ожидаемыми результатами.

Вывод

В этом разделе обоснован выбор языка программирования, описаны технические характеристики, приведены листинги кода реализованных алгоритмов и проведены тесты.

4 Экспериментальная часть

В данном разделе сравниваются реализованные алгоритмы, дается сравнительная оценка затрат на время.

4.1 Пример работы программы

Пример работы программы представлен на рисунке 4.1. На вход подаётся файл с матрицей расстояний. Результат работы муравьиного алгоритма записывается в файл, один из вариантов выводится в консоль. Пример файла в приложении 1.

```
1 124 33 222 126 322 543 12
124 1 124 222 123 323 222 334
33 124 1 16 444 112 46 891
222 222 16 1 544 122 56 556
126 123 444 544 1 544 233 920
322 323 112 122 544 1 555 145
543 222 46 56 233 555 1 322
12 334 891 556 920 145 322 1
Время работы полного перебора: 0.14773

Путь: 1 5 2 3 7 4 6 8 1
Длина: 746

Время работы муравьиного алгоритма: 0.042077

Путь: 5 1 8 6 4 7 3 2 5
Длина: 746
```

Рис. 4.1: Пример работы программы

4.2 Технические характеристики

Технические характеристики устройства, на котором выполнялось исследование:

- операционная система: Ubuntu 20.01 Linux x86_64 [5];

- оперативная память: 8 Гб;
- процессор: AMD Ryzen5 4500U [6]:
 - количество физических ядер: 6;
 - количество логических ядер: 6.

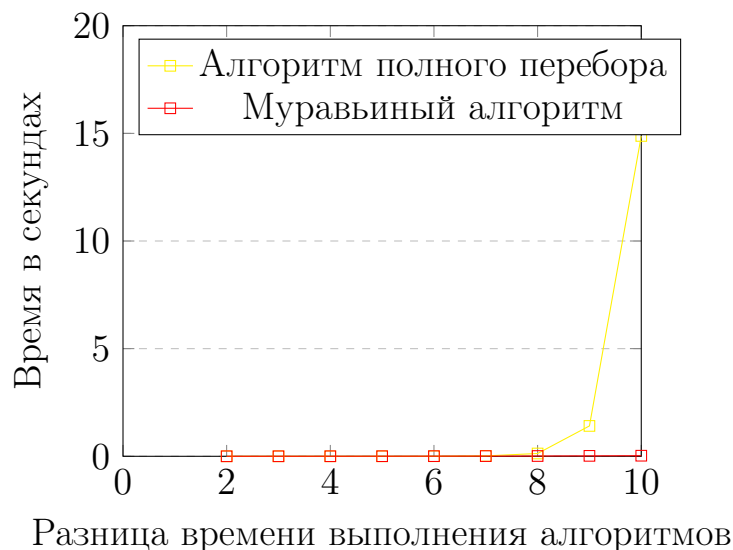
4.3 Время выполнения алгоритмов

Был проведен сравнительный анализ реализаций муравьиного алгоритма и полного перебора. Замеры времени проводились для графов с количеством вершин от 2 до 10 с шагом 1. Значения коэффициентов составили $\alpha = 0$, $t_{max} = 50$, $\rho = 0.1$.

Результаты представлены в таблице 4.1:

Таблица 4.1: Результаты замеров времени для алгоритма полного перебора и муравьиного алгоритма

Количество вершин	Полный перебор	Муравьиный алгоритм
2	0.00001	0.00041
3	0.00004	0.00096
4	0.0002	0.002
5	0.00053	0.0034
6	0.0026	0.0062
7	0.0175	0.0095
8	0.13	0.013
9	1.41	0.02
10	14.88	0.027



4.4 Параметризация муравьиного алгоритма на основании проведенного эксперимента

Работа муравьиного алгоритма зависит от параметров α , β , ρ и t_{max} . Найдем такие из них, при которых метод дает наиболее точный результат для трех классов данных (матрицы 10×10).

Параметр α будем варьировать от 0 до 1 с шагом 0.25, ρ - от 0.1 до 0.9 с шагом 0.1, t_{max} - от 50 до 400 с шагом 50. Результат тестирования - таблица со значениями $\alpha, \beta, \rho, t_{max}, \Delta L_1, \Delta L_2, \Delta L_3$, где δL_i - разность эталонного решения задачи, полученного методом полного перебора, и полученного в процессе выполнения с заданными параметрами решения на i -м классе данных

Класс данных 1

Первый класс данных 4.1 - матрица смежности 10×10 , элементы которой находятся в диапазоне $[1; 4]$

$$M = \begin{pmatrix} 0 & 1 & 3 & 2 & 1 & 3 & 2 & 4 & 1 & 2 \\ 1 & 0 & 1 & 3 & 2 & 1 & 2 & 1 & 1 & 2 \\ 3 & 1 & 0 & 1 & 2 & 1 & 1 & 2 & 3 & 1 \\ 2 & 3 & 1 & 0 & 1 & 2 & 1 & 2 & 1 & 1 \\ 1 & 2 & 2 & 1 & 0 & 2 & 2 & 1 & 2 & 2 \\ 3 & 1 & 1 & 2 & 2 & 0 & 1 & 1 & 2 & 1 \\ 2 & 2 & 1 & 1 & 2 & 1 & 0 & 3 & 2 & 3 \\ 4 & 1 & 2 & 2 & 1 & 2 & 3 & 0 & 1 & 4 \\ 1 & 1 & 3 & 1 & 2 & 2 & 2 & 1 & 0 & 1 \\ 2 & 2 & 1 & 1 & 2 & 1 & 3 & 4 & 1 & 0 \end{pmatrix} \quad (4.1)$$

Класс данных 2

Второй класс данных 4.2 - матрица смежности 10×10 , элементы которой находятся в диапазоне $[11; 1245]$

$$M = \begin{pmatrix} 0 & 123 & 32 & 221 & 125 & 321 & 542 & 11 & 122 & 211 \\ 123 & 0 & 123 & 221 & 122 & 322 & 221 & 333 & 321 & 11 \\ 32 & 123 & 0 & 15 & 443 & 111 & 45 & 890 & 326 & 91 \\ 221 & 221 & 15 & 0 & 543 & 121 & 55 & 555 & 98 & 398 \\ 125 & 122 & 443 & 543 & 0 & 543 & 232 & 919 & 111 & 123 \\ 321 & 322 & 111 & 121 & 543 & 0 & 554 & 144 & 1244 & 243 \\ 542 & 221 & 45 & 55 & 232 & 554 & 0 & 321 & 877 & 577 \\ 11 & 333 & 890 & 555 & 919 & 144 & 321 & 0 & 214 & 612 \\ 122 & 321 & 326 & 98 & 111 & 1244 & 877 & 214 & 0 & 432 \\ 211 & 11 & 91 & 398 & 123 & 243 & 577 & 612 & 432 & 0 \end{pmatrix} \quad (4.2)$$

Класс данных 3

Третий класс данных 4.3 - матрица смежности 10×10 , элементы которой находятся в диапазоне $[5000; 10000]$

$$M = \begin{pmatrix} 0 & 6223 & 9593 & 6157 & 6109 & 8744 & 7815 & 9788 & 7473 & 9521 \\ 6223 & 0 & 9200 & 6017 & 9634 & 9532 & 7447 & 7114 & 5762 & 7713 \\ 9593 & 9200 & 0 & 6973 & 6016 & 7742 & 7759 & 8765 & 6669 & 9887 \\ 6157 & 6017 & 6973 & 0 & 9973 & 5432 & 5906 & 9754 & 9715 & 7519 \\ 6109 & 9634 & 6016 & 9973 & 0 & 6886 & 7409 & 6351 & 7167 & 9262 \\ 8744 & 9532 & 7742 & 5432 & 6886 & 0 & 7663 & 8084 & 6900 & 5081 \\ 7815 & 7447 & 7759 & 5906 & 7409 & 7663 & 0 & 8304 & 9912 & 5207 \\ 9788 & 7114 & 8765 & 9754 & 6351 & 8084 & 8304 & 0 & 5984 & 9808 \\ 7473 & 5762 & 6669 & 9715 & 7167 & 6900 & 9912 & 5984 & 0 & 7524 \\ 9521 & 7713 & 9887 & 7519 & 9262 & 5081 & 5207 & 9808 & 7524 & 0 \end{pmatrix} \quad (4.3)$$

Для каждого из классов данных были получены оптимальные сочетания параметров, представленные в таблицах 4.2-4.4.

Таблица 4.2: Оптимальные параметры для класса данных 1

t_{max}	α	β	ρ	ΔL_1
50	0	1	0.4	0
150	0	1	0.4	0
150	0	1	0.6	0
200	0	1	0.9	0

Таблица 4.3: Оптимальные параметры для класса данных 2

t_{max}	α	β	ρ	ΔL_2
50	0	1	0.6	0

Таблица 4.4: Оптимальные параметры для класса данных 3

t_{max}	α	β	ρ	ΔL_3
250	0	1	0.5	0

Из полученных таблиц общими значениями параметров для оптимальных наборов являются $\alpha = 0$, $\beta = 1$. Для первого и второго классов данных общим является набор $\alpha = 0$, $\beta = 1$, $\rho = 0.6$.

Вывод

По результатам исследования времени выполнения алгоритмов было выявлено, что при количестве вершин графа от 2 до 6, эффективнее использовать алгоритм полного перебора (преимущество составляет от 2.4 до 41 раз с уменьшением выигрыша при увеличении количества вершин графа), при большем - муравьиный алгоритм, преимущество которого составляет от 1.8 до 551 раза с увеличением разрыва при увеличении количества вершин.

Для заданных классов данных найдены параметры, которые обеспечивают наиболее оптимальное решение, для всех трех классов общими являются значения $\alpha = 0$, $\beta = 1$, для первого и второго - $\alpha = 0$, $\beta = 1$, $\rho = 0.6$.

Заключение

В процессе выполнения лабораторной работы был проведен анализ метода полного перебора и эвристического метода на базе муравьиного алгоритма.

Приведены схемы и реализованы метод полного перебора и метод на базе муравьиного алгоритма для решения задачи коммивояжера, проведено тестирование и параметризация муравьиного алгоритма для выбранного класса задач.

По результатам исследования времени работы алгоритмов выявлено, что на графах, количество вершин которого находится в диапазоне от 2 до 6, эффективнее использовать метод полного перебора (выигрыш составляет от 2.4 до 41 раза с уменьшением при увеличении количества вершин), на больших графах - муравьиный алгоритм, преимущество которого составляет от 1.8 до 551 раза с увеличением разрыва при увеличении количества вершин.

Общим для трех классов данных, приведенных в работе, стало сочетание параметров α и β со значениями 0 и 1 соответственно, для первого и второго - $\alpha = 0$, $\beta = 1$, $\rho = 0.6$.

Список литературы

- [1] Галяутдинов Р.Р. Задача коммивояжера - метод ветвей и границ [Электронный ресурс]. Режим доступа: <http://galyautdinov.ru/post/zadacha-kommivoyazhera>. Дата обращения: 15.12.2021.
- [2] Муравьиные алгоритмы [Электронный ресурс]. Режим доступа: http://www.machinelearning.ru/wiki/index.php?title=\T2A\CYRM\T2A\cyru\T2A\cyrr\T2A\cyra\T2A\cyrv\T2A\cyrsftsn\T2A\cyri\T2A\cyrn\T2A\cyrrery\T2A\cyre_\T2A\cyra\T2A\cyr1\T2A\cyrg\T2A\cyro\T2A\cyrr\T2A\cyri\T2A\cyrt\T2A\cyrm\T2A\cyrrery. Дата обращения 15.12.2021.
- [3] Ульянов М.В. Ресурсно эффективные алгоритмы. Разработка и анализ. //Наука Физматлит - Москва, 2007. с. 387.
- [4] Документация c++. [Электронный ресурс]. Режим доступа: <https://en.cppreference.com/w/>. Дата обращения 15.12.2021.
- [5] Ubuntu по-русски [Электронный ресурс]. Режим доступа: <https://ubuntu.ru/>. Дата обращения: 15.12.2021.
- [6] AMD Ryzen™ 5 4500U. Режим доступа: <https://www.amd.com/ru/products/apu/amd-ryzen-5-4500u>. Дата обращения: 15.12.2021.
- [7] Исследование эвристических методов решения задачи коммивояжера [Электронный ресурс]. Режим доступа: <https://dspace.spbu.ru/bitstream/11701/4478/1/DIPL0M.pdf>. Дата обращения 15.12.2021.

Приложение

В таблице 4.5-4.16 выводятся варьируемые параметры. Эталонная длина пути для первого класса данных - 10, для второго - 832, для третьего - 59972.

Таблица 4.5: Время выполнения полного перебора и муравьиного алгоритма

t_{max}	α	β	ρ	ΔL_1	ΔL_2	ΔL_3
50	0	1	0.1	4	321	8756
50	0	1	0.2	1	664	5297
50	0	1	0.3	3	361	7229
50	0	1	0.4	0	120	7739
50	0	1	0.5	2	671	2621
50	0	1	0.6	2	0	9526
50	0	1	0.7	1	92	7138
50	0	1	0.8	3	447	9391
50	0	1	0.9	3	203	10643
50	0.25	0.75	0.1	7	1577	11970
50	0.25	0.75	0.2	3	1075	9243
50	0.25	0.75	0.3	6	903	11356
50	0.25	0.75	0.4	4	1192	11864
50	0.25	0.75	0.5	6	1122	9709
50	0.25	0.75	0.6	4	958	7728
50	0.25	0.75	0.7	3	912	11084
50	0.25	0.75	0.8	6	865	4807
50	0.25	0.75	0.9	1	413	7714
50	0.5	0.5	0.1	4	1507	9125
50	0.5	0.5	0.2	1	1008	7965
50	0.5	0.5	0.3	6	1394	8290
50	0.5	0.5	0.4	5	1291	9739
50	0.5	0.5	0.5	3	1323	11989
50	0.5	0.5	0.6	5	915	10797
50	0.5	0.5	0.7	4	1585	10430
50	0.5	0.5	0.8	2	1336	9237
50	0.5	0.5	0.9	4	1562	10257
50	0.75	0.25	0.1	3	1774	10032
50	0.75	0.25	0.2	1	906	12146

Таблица 4.6: Время выполнения полного перебора и муравьиного алгоритма

t_{max}	α	β	ρ	ΔL_1	ΔL_2	ΔL_3
50	0.75	0.25	0.3	4	629	8357
50	0.75	0.25	0.4	4	1661	11174
50	0.75	0.25	0.5	4	1553	7463
50	0.75	0.25	0.6	5	1170	6883
50	0.75	0.25	0.7	3	991	13063
50	0.75	0.25	0.8	3	1223	10065
50	0.75	0.25	0.9	5	1334	14601
50	1	0	0.1	3	1124	11070
50	1	0	0.2	3	1382	8615
50	1	0	0.3	4	700	10180
50	1	0	0.4	5	722	7314
50	1	0	0.5	5	2130	10054
50	1	0	0.6	5	1261	5304
50	1	0	0.7	5	1604	7816
50	1	0	0.8	5	1430	12009
50	1	0	0.9	7	1444	12247
100	0	1	0.1	2	419	8045
100	0	1	0.2	2	212	8225
100	0	1	0.3	1	192	6189
100	0	1	0.4	1	270	7441
100	0	1	0.5	2	403	8734
100	0	1	0.6	3	240	9833
100	0	1	0.7	2	330	11453
100	0	1	0.8	3	155	8789
100	0	1	0.9	1	536	4731
100	0.25	0.75	0.1	4	1074	13862
100	0.25	0.75	0.2	4	950	10485
100	0.25	0.75	0.3	4	1421	10884
100	0.25	0.75	0.4	6	2041	10379
100	0.25	0.75	0.5	4	1016	12817
100	0.25	0.75	0.6	3	1311	11278
100	0.25	0.75	0.7	5	1234	11178

Таблица 4.7: Время выполнения полного перебора и муравьиного алгоритма

t_{max}	α	β	ρ	ΔL_1	ΔL_2	ΔL_3
100	0.25	0.75	0.8	5	1424	8487
100	0.25	0.75	0.9	5	1384	9486
100	0.5	0.5	0.1	5	1397	10850
100	0.5	0.5	0.2	4	1376	11320
100	0.5	0.5	0.3	4	1009	9336
100	0.5	0.5	0.4	4	2038	15597
100	0.5	0.5	0.5	5	746	10422
100	0.5	0.5	0.6	5	1631	10750
100	0.5	0.5	0.7	3	1284	9855
100	0.5	0.5	0.8	4	745	10229
100	0.5	0.5	0.9	5	916	11513
100	0.75	0.25	0.1	6	2294	11655
100	0.75	0.25	0.2	6	1689	7774
100	0.75	0.25	0.3	4	1621	11845
100	0.75	0.25	0.4	4	1199	12541
100	0.75	0.25	0.5	3	1625	6353
100	0.75	0.25	0.6	3	1135	7644
100	0.75	0.25	0.7	4	1334	12616
100	0.75	0.25	0.8	5	1134	13450
100	0.75	0.25	0.9	3	832	10845
100	1	0	0.1	3	1235	13061
100	1	0	0.2	4	423	15478
100	1	0	0.3	7	890	10349
100	1	0	0.4	4	1406	8261
100	1	0	0.5	4	1425	9724
100	1	0	0.6	4	1558	12325
100	1	0	0.7	5	1343	10008
100	1	0	0.8	4	1008	11384
100	1	0	0.9	5	1268	8968
150	0	1	0.1	1	303	10707
150	0	1	0.2	3	92	8963
150	0	1	0.3	3	192	12567

Таблица 4.8: Время выполнения полного перебора и муравьиного алгоритма

t_{max}	α	β	ρ	ΔL_1	ΔL_2	ΔL_3
150	0	1	0.4	0	481	9986
150	0	1	0.5	2	120	10886
150	0	1	0.6	0	430	10750
150	0	1	0.7	3	333	6854
150	0	1	0.8	4	544	9940
150	0	1	0.9	2	120	12593
150	0.25	0.75	0.1	3	913	12235
150	0.25	0.75	0.2	3	1238	12767
150	0.25	0.75	0.3	4	1625	13750
150	0.25	0.75	0.4	4	1991	9691
150	0.25	0.75	0.5	3	1449	5898
150	0.25	0.75	0.6	5	1522	6929
150	0.25	0.75	0.7	2	1630	13159
150	0.25	0.75	0.8	4	1541	11210
150	0.25	0.75	0.9	4	1170	11096
150	0.5	0.5	0.1	2	1099	5728
150	0.5	0.5	0.2	6	1977	13189
150	0.5	0.5	0.3	3	1183	10272
150	0.5	0.5	0.4	3	1203	10083
150	0.5	0.5	0.5	3	716	14089
150	0.5	0.5	0.6	4	294	8969
150	0.5	0.5	0.7	5	1754	9116
150	0.5	0.5	0.8	3	1977	9097
150	0.5	0.5	0.9	3	715	9854
150	0.75	0.25	0.1	6	1728	6526
150	0.75	0.25	0.2	4	1458	11115
150	0.75	0.25	0.3	4	1465	14121
150	0.75	0.25	0.4	3	675	5651
150	0.75	0.25	0.5	2	987	7760
150	0.75	0.25	0.6	3	1143	8571
150	0.75	0.25	0.7	6	970	11273

Таблица 4.9: Время выполнения полного перебора и муравьиного алгоритма

t_{max}	α	β	ρ	ΔL_1	ΔL_2	ΔL_3
150	0.75	0.25	0.8	4	1373	13305
150	0.75	0.25	0.9	6	1218	11096
150	1	0	0.1	4	1274	5786
150	1	0	0.2	3	1434	12328
150	1	0	0.3	2	1166	9063
150	1	0	0.4	4	1748	10983
150	1	0	0.5	3	1596	12162
150	1	0	0.6	4	1267	11352
150	1	0	0.7	4	902	8041
150	1	0	0.8	5	895	13259
150	1	0	0.9	2	942	9467
200	0	1	0.1	1	265	8665
200	0	1	0.2	5	404	9355
200	0	1	0.3	2	367	11411
200	0	1	0.4	2	413	7964
200	0	1	0.5	3	1	10293
200	0	1	0.6	3	488	8838
200	0	1	0.7	2	40	10818
200	0	1	0.8	2	480	8376
200	0	1	0.9	0	480	9213
200	0.25	0.75	0.1	4	1521	10179
200	0.25	0.75	0.2	4	1025	12307
200	0.25	0.75	0.3	3	998	10767
200	0.25	0.75	0.4	4	1289	11705
200	0.25	0.75	0.5	5	799	5578
200	0.25	0.75	0.6	3	1284	8426
200	0.25	0.75	0.7	3	1045	10055
200	0.25	0.75	0.8	5	1865	7466
200	0.25	0.75	0.9	4	740	9829
200	0.5	0.5	0.1	5	1038	10106
200	0.5	0.5	0.2	6	1070	9479
200	0.5	0.5	0.3	4	1362	6692

Таблица 4.10: Время выполнения полного перебора и муравьиного алгоритма

t_{max}	α	β	ρ	ΔL_1	ΔL_2	ΔL_3
200	0.5	0.5	0.4	5	876	11640
200	0.5	0.5	0.5	3	919	11724
200	0.5	0.5	0.6	5	1366	8644
200	0.5	0.5	0.7	2	1346	11620
200	0.5	0.5	0.8	5	760	12334
200	0.5	0.5	0.9	4	1021	11323
200	0.75	0.25	0.1	2	2072	13053
200	0.75	0.25	0.2	6	1564	11677
200	0.75	0.25	0.3	4	1500	14739
200	0.75	0.25	0.4	4	918	12991
200	0.75	0.25	0.5	2	1160	10307
200	0.75	0.25	0.6	4	1155	4186
200	0.75	0.25	0.7	5	1259	6158
200	0.75	0.25	0.8	5	1072	5530
200	0.75	0.25	0.9	3	1546	11670
200	1	0	0.1	6	696	13300
200	1	0	0.2	6	1440	10068
200	1	0	0.3	4	924	9860
200	1	0	0.4	2	1030	10056
200	1	0	0.5	4	1215	12340
200	1	0	0.6	3	1448	8777
200	1	0	0.7	3	836	9864
200	1	0	0.8	5	1357	8828
200	1	0	0.9	4	1257	9179
250	0	1	0.1	1	698	10571
250	0	1	0.2	2	515	9265
250	0	1	0.3	2	92	6415
250	0	1	0.4	2	298	5168
250	0	1	0.5	2	235	0
250	0	1	0.6	2	683	9342
250	0	1	0.7	2	40	9962
250	0	1	0.8	1	211	8398

Таблица 4.11: Время выполнения полного перебора и муравьиного алгоритма

t_{max}	α	β	ρ	ΔL_1	ΔL_2	ΔL_3
250	0	1	0.9	3	133	8469
250	0.25	0.75	0.1	5	1114	4043
250	0.25	0.75	0.2	5	1248	10064
250	0.25	0.75	0.3	3	1426	9732
250	0.25	0.75	0.4	5	933	10577
250	0.25	0.75	0.5	4	1185	8709
250	0.25	0.75	0.6	3	1638	9928
250	0.25	0.75	0.7	4	777	7512
250	0.25	0.75	0.8	2	1653	10007
250	0.25	0.75	0.9	2	1048	4108
250	0.5	0.5	0.1	4	901	10118
250	0.5	0.5	0.2	4	966	7825
250	0.5	0.5	0.3	5	1490	17096
250	0.5	0.5	0.4	4	1296	10505
250	0.5	0.5	0.5	3	790	6406
250	0.5	0.5	0.6	3	1200	10748
250	0.5	0.5	0.7	3	1287	11191
250	0.5	0.5	0.8	3	1341	9400
250	0.5	0.5	0.9	5	1746	10785
250	0.75	0.25	0.1	3	1340	11007
250	0.75	0.25	0.2	6	888	8637
250	0.75	0.25	0.3	6	848	8354
250	0.75	0.25	0.4	4	1583	8246
250	0.75	0.25	0.5	3	939	12496
250	0.75	0.25	0.6	4	1785	12991
250	0.75	0.25	0.7	3	1245	6608
250	0.75	0.25	0.8	2	1609	11078
250	0.75	0.25	0.9	5	976	9056
250	1	0	0.1	5	923	9767
250	1	0	0.2	5	1433	6779
250	1	0	0.3	5	1302	11255
250	1	0	0.4	5	998	11757

Таблица 4.12: Время выполнения полного перебора и муравьиного алгоритма

t_{max}	α	β	ρ	ΔL_1	ΔL_2	ΔL_3
250	1	0	0.5	5	2004	12309
250	1	0	0.6	4	1063	11136
250	1	0	0.7	6	1326	11957
250	1	0	0.8	2	758	9613
250	1	0	0.9	4	1122	10982
300	0	1	0.1	2	709	9937
300	0	1	0.2	3	34	7900
300	0	1	0.3	3	312	9466
300	0	1	0.4	2	290	8784
300	0	1	0.5	1	582	7761
300	0	1	0.6	3	297	8058
300	0	1	0.7	2	716	5535
300	0	1	0.8	1	482	6093
300	0	1	0.9	2	270	7984
300	0.25	0.75	0.1	5	1582	14106
300	0.25	0.75	0.2	4	390	2168
300	0.25	0.75	0.3	4	2084	6742
300	0.25	0.75	0.4	6	1040	13010
300	0.25	0.75	0.5	5	1567	11956
300	0.25	0.75	0.6	5	942	7115
300	0.25	0.75	0.7	6	1228	10068
300	0.25	0.75	0.8	5	1292	9606
300	0.25	0.75	0.9	5	1389	15772
300	0.5	0.5	0.1	2	1622	8551
300	0.5	0.5	0.2	6	1204	9348
300	0.5	0.5	0.3	3	1450	10386
300	0.5	0.5	0.4	3	1245	10203
300	0.5	0.5	0.5	3	1109	15642
300	0.5	0.5	0.6	3	1040	12369
300	0.5	0.5	0.7	4	1029	11515
300	0.5	0.5	0.8	4	1043	10118
300	0.5	0.5	0.9	5	1466	12997

Таблица 4.13: Время выполнения полного перебора и муравьиного алгоритма

t_{max}	α	β	ρ	ΔL_1	ΔL_2	ΔL_3
300	0.75	0.25	0.1	5	1147	11937
300	0.75	0.25	0.2	3	1722	5690
300	0.75	0.25	0.3	4	1148	9056
300	0.75	0.25	0.4	2	981	8279
300	0.75	0.25	0.5	3	1048	9760
300	0.75	0.25	0.6	5	1495	9998
300	0.75	0.25	0.7	2	894	8841
300	0.75	0.25	0.8	3	815	13458
300	0.75	0.25	0.9	4	540	12323
300	1	0	0.1	2	1413	12086
300	1	0	0.2	2	1338	12370
300	1	0	0.3	5	695	14532
300	1	0	0.4	5	963	11282
300	1	0	0.5	5	1665	13379
300	1	0	0.6	5	1719	10666
300	1	0	0.7	2	1458	13796
300	1	0	0.8	5	1837	8800
300	1	0	0.9	3	1291	10831
350	0	1	0.1	3	444	7399
350	0	1	0.2	1	466	14815
350	0	1	0.3	3	235	11042
350	0	1	0.4	2	40	6752
350	0	1	0.5	1	92	6758
350	0	1	0.6	2	323	8775
350	0	1	0.7	1	240	11755
350	0	1	0.8	3	290	12144
350	0	1	0.9	4	248	7516
350	0.25	0.75	0.1	6	1321	14991
350	0.25	0.75	0.2	3	1060	10849
350	0.25	0.75	0.3	6	762	4781
350	0.25	0.75	0.4	5	1435	16012
350	0.25	0.75	0.5	5	1375	9661

Таблица 4.14: Время выполнения полного перебора и муравьиного алгоритма

t_{max}	α	β	ρ	ΔL_1	ΔL_2	ΔL_3
350	0.25	0.75	0.6	3	1218	13763
350	0.25	0.75	0.7	4	1647	9926
350	0.25	0.75	0.8	4	1254	6629
350	0.25	0.75	0.9	3	1420	9748
350	0.5	0.5	0.1	5	1087	7583
350	0.5	0.5	0.2	4	826	7038
350	0.5	0.5	0.3	3	1631	14789
350	0.5	0.5	0.4	5	1280	10748
350	0.5	0.5	0.5	4	1340	11922
350	0.5	0.5	0.6	4	1223	12277
350	0.5	0.5	0.7	4	741	9177
350	0.5	0.5	0.8	3	2575	11585
350	0.5	0.5	0.9	3	1077	10565
350	0.75	0.25	0.1	3	1110	6207
350	0.75	0.25	0.2	2	513	7815
350	0.75	0.25	0.3	5	1519	12731
350	0.75	0.25	0.4	4	1145	7312
350	0.75	0.25	0.5	5	1203	12719
350	0.75	0.25	0.6	5	1217	8659
350	0.75	0.25	0.7	6	1438	8160
350	0.75	0.25	0.8	4	1395	9522
350	0.75	0.25	0.9	2	1043	13698
350	1	0	0.1	5	811	8508
350	1	0	0.2	2	1507	14828
350	1	0	0.3	4	1470	14812
350	1	0	0.4	3	843	11712
350	1	0	0.5	5	1068	8061
350	1	0	0.6	4	648	10997
350	1	0	0.7	4	1679	7781
350	1	0	0.8	3	1623	12624
350	1	0	0.9	3	1541	11793
400	0	1	0.1	3	560	10642

Таблица 4.15: Время выполнения полного перебора и муравьиного алгоритма

t_{max}	α	β	ρ	ΔL_1	ΔL_2	ΔL_3
400	0	1	0.2	2	533	5636
400	0	1	0.3	3	192	7931
400	0	1	0.4	3	461	11510
400	0	1	0.5	3	413	10950
400	0	1	0.6	4	578	3884
400	0	1	0.7	4	510	7366
400	0	1	0.8	1	507	1879
400	0	1	0.9	2	40	6831
400	0.25	0.75	0.1	2	1539	11958
400	0.25	0.75	0.2	4	1473	8810
400	0.25	0.75	0.3	3	1488	9461
400	0.25	0.75	0.4	6	828	10506
400	0.25	0.75	0.5	2	1765	13904
400	0.25	0.75	0.6	3	1811	13815
400	0.25	0.75	0.7	3	1118	11033
400	0.25	0.75	0.8	4	1502	7311
400	0.25	0.75	0.9	5	882	13035
400	0.5	0.5	0.1	6	1262	9966
400	0.5	0.5	0.2	1	1078	12274
400	0.5	0.5	0.3	4	1629	8690
400	0.5	0.5	0.4	3	1303	13380
400	0.5	0.5	0.5	4	1506	7583
400	0.5	0.5	0.6	3	940	8853
400	0.5	0.5	0.7	5	956	13311
400	0.5	0.5	0.8	3	774	14849
400	0.5	0.5	0.9	5	919	10166
400	0.75	0.25	0.1	3	1648	10206
400	0.75	0.25	0.2	4	1109	10630
400	0.75	0.25	0.3	4	1319	6731
400	0.75	0.25	0.4	5	1163	8806
400	0.75	0.25	0.5	6	1122	13044
400	0.75	0.25	0.6	4	1204	11361

Таблица 4.16: Время выполнения полного перебора и муравьиного алгоритма

t_{max}	α	β	ρ	ΔL_1	ΔL_2	ΔL_3
400	0.75	0.25	0.7	3	1453	6185
400	0.75	0.25	0.8	6	1118	14552
400	0.75	0.25	0.9	3	1001	13914
400	1	0	0.1	4	1383	15557
400	1	0	0.2	3	1466	11751
400	1	0	0.3	5	1097	11094
400	1	0	0.4	5	1453	12651
400	1	0	0.5	2	1425	10125
400	1	0	0.6	4	1652	11208
400	1	0	0.7	5	1650	12690
400	1	0	0.8	4	1767	11157
400	1	0	0.9	2	1105	7900
400	1	0	0.8	4	1767	11157
400	1	0	0.9	2	1105	7900